

Starkniederschlagshöhen und -spenden gemäß KOSTRA-DWD-2020

Rasterfeld 166133

(Zeile 166, Spalte 133)

Regenspende und Bemessungsniederschlagswerte in Abhängigkeit von Wiederkehrzeit T und Dauerstufe D

| Dauerstufe D | | Wiederkehrzeit T | | | | | | | | | | | | | | | | | |
|--------------|-----|------------------|------------|------|------------|------|------------|-------|------------|-------|------------|-------|------------|-------|------------|-------|------------|-------|------------|
| | | 1 a | | 2 a | | 3 a | | 5 a | | 10 a | | 20 a | | 30 a | | 50 a | | 100 a | |
| min | Std | mm | l / (s ha) | mm | l / (s ha) | mm | l / (s ha) | mm | l / (s ha) | mm | l / (s ha) | mm | l / (s ha) | mm | l / (s ha) | mm | l / (s ha) | mm | l / (s ha) |
| 5 | | 6,6 | 220,0 | 8,1 | 270,0 | 9,1 | 303,3 | 10,3 | 343,3 | 12,1 | 403,3 | 14,0 | 466,7 | 15,2 | 506,7 | 16,8 | 560,0 | 19,1 | 636,7 |
| 10 | | 8,7 | 145,0 | 10,7 | 178,3 | 12,0 | 200,0 | 13,6 | 226,7 | 16,0 | 266,7 | 18,5 | 308,3 | 20,1 | 335,0 | 22,2 | 370,0 | 25,2 | 420,0 |
| 15 | | 10,0 | 111,1 | 12,4 | 137,8 | 13,8 | 153,3 | 15,7 | 174,4 | 18,5 | 205,6 | 21,3 | 236,7 | 23,2 | 257,8 | 25,6 | 284,4 | 29,1 | 323,3 |
| 20 | | 11,0 | 91,7 | 13,6 | 113,3 | 15,2 | 126,7 | 17,3 | 144,2 | 20,3 | 169,2 | 23,5 | 195,8 | 25,5 | 212,5 | 28,2 | 235,0 | 32,0 | 266,7 |
| 30 | | 12,5 | 69,4 | 15,5 | 86,1 | 17,3 | 96,1 | 19,7 | 109,4 | 23,1 | 128,3 | 26,7 | 148,3 | 29,0 | 161,1 | 32,1 | 178,3 | 36,4 | 202,2 |
| 45 | | 14,2 | 52,6 | 17,5 | 64,8 | 19,6 | 72,6 | 22,3 | 82,6 | 26,2 | 97,0 | 30,2 | 111,9 | 32,8 | 121,5 | 36,3 | 134,4 | 41,2 | 152,6 |
| 60 | 1 | 15,5 | 43,1 | 19,1 | 53,1 | 21,3 | 59,2 | 24,3 | 67,5 | 28,5 | 79,2 | 32,9 | 91,4 | 35,8 | 99,4 | 39,5 | 109,7 | 44,9 | 124,7 |
| 90 | 1,5 | 17,4 | 32,2 | 21,5 | 39,8 | 24,0 | 44,4 | 27,3 | 50,6 | 32,1 | 59,4 | 37,1 | 68,7 | 40,3 | 74,6 | 44,5 | 82,4 | 50,6 | 93,7 |
| 120 | 2 | 18,9 | 26,3 | 23,4 | 32,5 | 26,1 | 36,3 | 29,7 | 41,3 | 34,9 | 48,5 | 40,3 | 56,0 | 43,8 | 60,8 | 48,4 | 67,2 | 54,9 | 76,3 |
| 180 | 3 | 21,2 | 19,6 | 26,2 | 24,3 | 29,3 | 27,1 | 33,3 | 30,8 | 39,2 | 36,3 | 45,2 | 41,9 | 49,1 | 45,5 | 54,3 | 50,3 | 61,7 | 57,1 |
| 240 | 4 | 23,0 | 16,0 | 28,4 | 19,7 | 31,8 | 22,1 | 36,2 | 25,1 | 42,5 | 29,5 | 49,0 | 34,0 | 53,3 | 37,0 | 58,9 | 40,9 | 66,9 | 46,5 |
| 360 | 6 | 25,8 | 11,9 | 31,9 | 14,8 | 35,6 | 16,5 | 40,6 | 18,8 | 47,7 | 22,1 | 55,0 | 25,5 | 59,8 | 27,7 | 66,0 | 30,6 | 75,0 | 34,7 |
| 540 | 9 | 28,9 | 8,9 | 35,7 | 11,0 | 39,9 | 12,3 | 45,5 | 14,0 | 53,4 | 16,5 | 61,6 | 19,0 | 67,0 | 20,7 | 74,0 | 22,8 | 84,1 | 26,0 |
| 720 | 12 | 31,4 | 7,3 | 38,7 | 9,0 | 43,3 | 10,0 | 49,3 | 11,4 | 57,9 | 13,4 | 66,8 | 15,5 | 72,6 | 16,8 | 80,2 | 18,6 | 91,1 | 21,1 |
| 1080 | 18 | 35,1 | 5,4 | 43,4 | 6,7 | 48,5 | 7,5 | 55,2 | 8,5 | 64,8 | 10,0 | 74,8 | 11,5 | 81,3 | 12,5 | 89,8 | 13,9 | 102,1 | 15,8 |
| 1440 | 24 | 38,1 | 4,4 | 47,0 | 5,4 | 52,5 | 6,1 | 59,8 | 6,9 | 70,2 | 8,1 | 81,0 | 9,4 | 88,1 | 10,2 | 97,3 | 11,3 | 110,6 | 12,8 |
| 2880 | 48 | 46,2 | 2,7 | 57,0 | 3,3 | 63,7 | 3,7 | 72,5 | 4,2 | 85,2 | 4,9 | 98,3 | 5,7 | 106,9 | 6,2 | 118,1 | 6,8 | 134,2 | 7,8 |
| 4320 | 72 | 51,7 | 2,0 | 63,9 | 2,5 | 71,4 | 2,8 | 81,2 | 3,1 | 95,4 | 3,7 | 110,1 | 4,2 | 119,7 | 4,6 | 132,2 | 5,1 | 150,3 | 5,8 |
| 5760 | 96 | 56,1 | 1,6 | 69,2 | 2,0 | 77,3 | 2,2 | 88,0 | 2,5 | 103,4 | 3,0 | 119,3 | 3,5 | 129,7 | 3,8 | 143,3 | 4,1 | 162,8 | 4,7 |
| 7200 | 120 | 59,7 | 1,4 | 73,6 | 1,7 | 82,3 | 1,9 | 93,7 | 2,2 | 110,0 | 2,5 | 126,9 | 2,9 | 138,0 | 3,2 | 152,5 | 3,5 | 173,2 | 4,0 |
| 8640 | 144 | 62,8 | 1,2 | 77,5 | 1,5 | 86,6 | 1,7 | 98,5 | 1,9 | 115,8 | 2,2 | 133,5 | 2,6 | 145,2 | 2,8 | 160,4 | 3,1 | 182,3 | 3,5 |
| 10080 | 168 | 65,5 | 1,1 | 80,9 | 1,3 | 90,4 | 1,5 | 102,9 | 1,7 | 120,8 | 2,0 | 139,4 | 2,3 | 151,5 | 2,5 | 167,4 | 2,8 | 190,3 | 3,1 |

Starkniederschlagshöhen und -spenden gemäß KOSTRA-DWD-2020

Rasterfeld 166133

(Zeile 166, Spalte 133)

Örtliche Unsicherheiten in Abhängigkeit von Wiederkehrzeit T und Dauerstufe D

| Dauerstufe D | | Wiederkehrzeit T | | | | | | | | |
|--------------|-----|------------------|-----|-----|-----|------|------|------|------|-------|
| | | 1 a | 2 a | 3 a | 5 a | 10 a | 20 a | 30 a | 50 a | 100 a |
| min | Std | ± % | ± % | ± % | ± % | ± % | ± % | ± % | ± % | ± % |
| 5 | | 12 | 13 | 14 | 15 | 16 | 16 | 17 | 17 | 18 |
| 10 | | 15 | 17 | 18 | 19 | 20 | 21 | 21 | 21 | 22 |
| 15 | | 17 | 19 | 20 | 21 | 22 | 22 | 23 | 23 | 24 |
| 20 | | 18 | 20 | 21 | 22 | 23 | 23 | 24 | 24 | 25 |
| 30 | | 18 | 20 | 21 | 22 | 23 | 24 | 25 | 25 | 26 |
| 45 | | 18 | 20 | 21 | 22 | 23 | 24 | 25 | 25 | 26 |
| 60 | 1 | 18 | 20 | 21 | 22 | 23 | 24 | 24 | 25 | 26 |
| 90 | 1,5 | 17 | 19 | 20 | 21 | 22 | 23 | 24 | 24 | 25 |
| 120 | 2 | 16 | 18 | 19 | 20 | 22 | 22 | 23 | 23 | 24 |
| 180 | 3 | 15 | 17 | 18 | 19 | 20 | 21 | 22 | 22 | 23 |
| 240 | 4 | 15 | 16 | 17 | 18 | 19 | 20 | 21 | 21 | 22 |
| 360 | 6 | 14 | 15 | 16 | 17 | 18 | 19 | 20 | 20 | 21 |
| 540 | 9 | 13 | 15 | 15 | 16 | 17 | 18 | 18 | 19 | 19 |
| 720 | 12 | 13 | 14 | 15 | 16 | 16 | 17 | 18 | 18 | 19 |
| 1080 | 18 | 13 | 14 | 14 | 15 | 16 | 16 | 17 | 17 | 18 |
| 1440 | 24 | 13 | 13 | 14 | 15 | 15 | 16 | 16 | 17 | 17 |
| 2880 | 48 | 14 | 14 | 14 | 14 | 15 | 15 | 16 | 16 | 16 |
| 4320 | 72 | 15 | 15 | 15 | 15 | 15 | 16 | 16 | 16 | 16 |
| 5760 | 96 | 16 | 16 | 16 | 16 | 16 | 16 | 16 | 16 | 16 |
| 7200 | 120 | 17 | 16 | 16 | 16 | 16 | 16 | 16 | 17 | 17 |
| 8640 | 144 | 18 | 17 | 17 | 17 | 17 | 17 | 17 | 17 | 17 |
| 10080 | 168 | 18 | 18 | 17 | 17 | 17 | 17 | 17 | 17 | 17 |

Parameter für abweichende T und D

Lokationsparameter ξ (Xi)

15,74216529

Skalenparameter α (Alpha)

5,12615852

Formparameter κ (Kappa)

-0,1

1. Koutsoyiannis-Parameter θ (Theta)

0,02350741

2. Koutsoyiannis-Parameter η (Eta)

0,72155859

Parameter für dauerstufenübergreifende Extremwertschätzung nach KOUTSOYIANNIS et al. 1998.

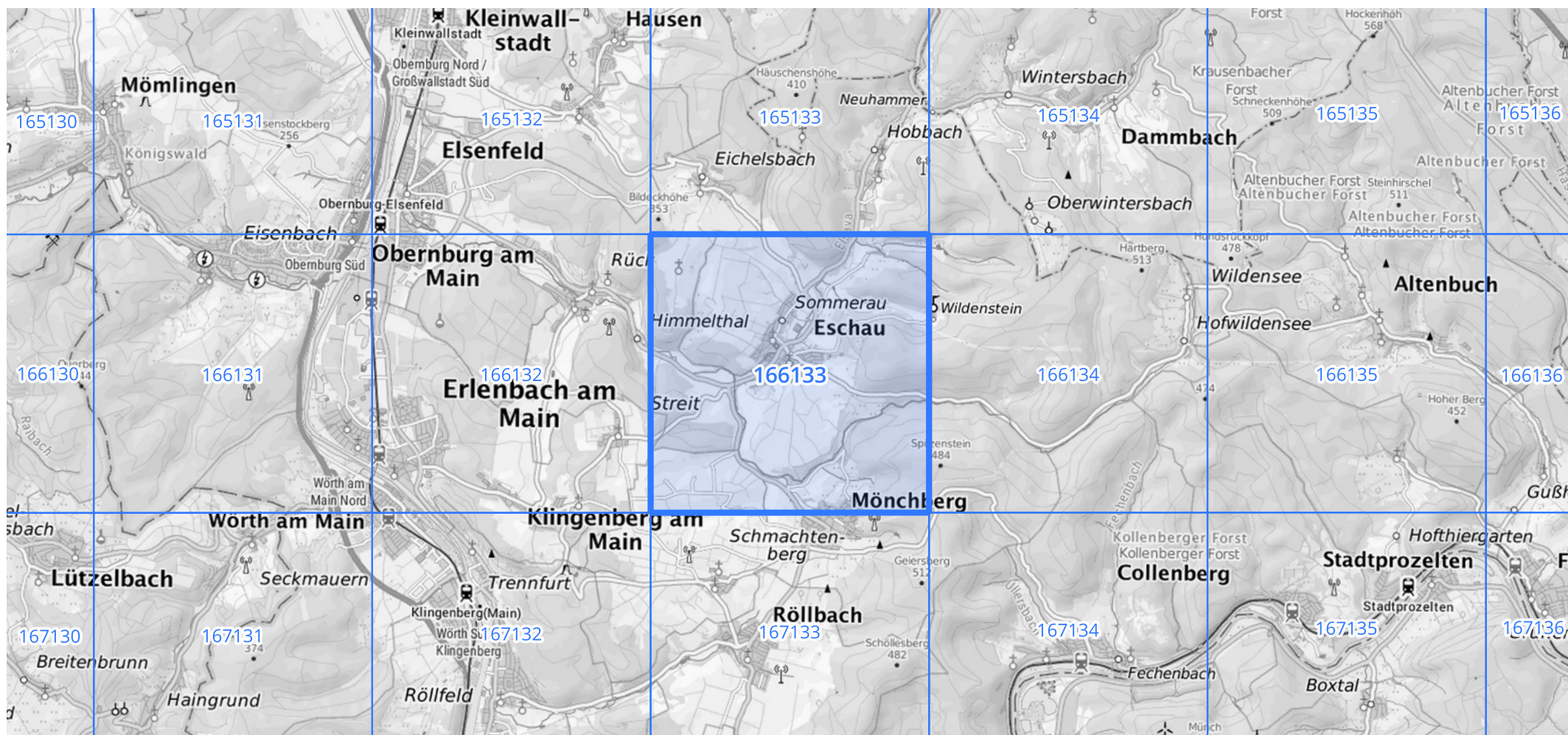
Siehe auch Anwendungshilfe zu KOSTRA-DWD-2020 des Deutschen Wetterdienstes.

Starkniederschlagshöhen und -spenden gemäß KOSTRA-DWD-2020

Rasterfeld 166133

(Zeile 166, Spalte 133)

Übersichtskarte des Rasterfeldes 166133, M 1 : 100 000



Quelle Rasterdaten: KOSTRA-DWD-2020 des Deutschen Wetterdienstes, Stand 12/2022.

Seite 3 von 3

Kartendarstellung: © Bundesamt für Kartographie und Geodäsie (2023), Datenquellen: https://sgx.geodatenzentrum.de/web_public/gdz/datenquellen/Datenquellen_TopPlusOpen.html

Für die Richtigkeit und Aktualität der Angaben wird keine Gewähr übernommen. Erstellt 01/2023.